

지파도파관에 의한 상대론적 전자빔 발생장치의 연구

김원섭

남도대학 컴퓨터응용전기과

A Study of Intense Relativistic Electron Beam Production by slowwave structure

Won-Sop KIM

Jeonnam Provincial College Dept. of Electricity Applied Computer

Abstract - 전자빔 발생장치를 이용한 마이크로파 출력을 증대시키기 위하여 주기구조를 갖는 지파도파관을 이용하였다. 이것은 공명적인 현상에 의하여 마이크로파 발진을 일으켜 출력 증대를 가져온다. 중심 축상의 고주파 전계 분포와 전자빔 밀도의 상호작용에 의한 에너지 증대가 이루어 지면서 이에 따라 대 출력이 얻어진다. 본 연구는 지금까지 연구되어 왔던 것보다 더 많은 출력을 얻기 위하여 지파도파관을 이용한 실험을 하여 연구하였다.

1. 서 론

자계 밀폐방식에 의한 핵융합·플라즈마 장치에서 RF 가열 또는 전류 구동을 위하여 수 10MW급의 고 출력 마이크로파원이 필요하다[1]. IREB(Intense Relativistic Electron Beam)를 이용한 고 출력 마이크로파 발진기는 최근 폭넓게 연구되고 있다. 그중에서도 러시아의 THOMSK 공학연구소에서 Bugaev등에 의하여 연구 개발된 다중파동 체렌코프 발진기(Multiwave Cherenkov Generator; MWCG)는 발진 파장 λ 보다 큰 직경 $D(D/\lambda=3\sim 13)$ 를 갖는 지파 구조를 이용하여 기록적인 출력력을 발생시켰다. 이와 같은 D/λ 의 경우 대구경 SWS(Slow Wave Structure)라고 하는데[6], 이것은 RF 절연 파괴가 일어나지 않는 범위의 고 에너지 밀도에서 큰 마이크로파 출력을 얻을 수 있다.

20여년전에 고 출력 미리파원으로서 개발된 자이로트롱은 전자 싸이로트롱 메이저를 이용하는데[2,3], MWCG에서는 자이로트롱보다 강한 자장이 필요없고 구조가 간단하므로 보다 편리하게 이용할 수 있는 장점이 있다. 한편, 자이로트롱에서의 평균 출력의 한계는 약 1MW인데, 이때 이용하는 미리파 에너지원은 열 음극을 이용한 마그네트롱 입사총(MIG)에 의해 만들어진 전자빔이 자계에 대하여 수직인 성분에 의하여 만들어 진다. MWCG에서는 MIG보다 구조가 간단한 냉 음극을 이용하여 수평 성분이 수직 성분보다 큰 전자빔을 이용하므로 자이로트롱보다 큰 마이크로파 출력을 얻을 수 있다. 대구경 후진파 발진기는 지파 구조를 이용하는 점에서 MWCG와 밀접한 관련이 있는데[7-15], MWCG에서는 지파 구조가 2개 나열되어 있어 그 사이에서 회절 현상에 의한 물리적인 현상을 일으키지만, 대구경 SWS에서는 직경을 작게하지 않으면서 밀리파 영역에서 고 출력

의 발진이 가능하다.

후진파 발진기(Backward Wave Oscillator : BWO)는 기본적으로 TM₀₁ 모드에 의해 동작하며, SWS의 금속 표면의 내경은 $R(z)=R_0+h\cos K_0 z$, $K_0=2\pi/z_0$ (z_0, h : 축 방향 주기 및 진폭)와 같이 정현파 곡선으로 변화한다. 또한 보통의 X-band BWO[7-15]에서는 직경과 파장과의 관계가 $D/\lambda \sim 1$ 이지만, 대구경 BWO에서는 $D/\lambda \gg 1$ 이다. 특히 대구경 BWO에서는 발진 주파수를 저하시키지 않기 위하여 작은 z_0 와 h 를 선택하는 것이 중요한데, 이것은 MWCG에서 지파 구조의 설계와 비슷하다[4-6].

지금까지의 BWO 실험에서는 주로 $D/\lambda \sim 1$ 인 X-band BWO에 의해 실험이 진행되어 왔으나, 결과를 보면 아직 롱 펄스화 및 대 출력과 높은 주파수에서의 발진등이 미흡한 과제로 되어 있다. 따라서 본 논문에서는 지금까지보다 높은 출력 밀도에서 절연 파괴가 일어나지 않으면서도 고 주파수인 24 GHz에서 발진하는 대 구경 BWO를 설계하여, $D/\lambda=4.8$ 로 결정하였고, 설계 방법은 절대 불안정성의 선형 해석을 이용하였다.

본 논문의 구성은, 제 2절에서는 절대 불안정에 대한 계산 모델 및 선형 해석 방법에 대하여 논하였고, 제 3절은 최적 설계의 계산 결과를 나타냈으며, 마지막으로 제 4절에서는 결론을 기술하였다.

2. 본 론

그림 1에 설계에 이용한 지파 도파관의 모델을 표현하였다. 완전 도체 금속의 내경은 $R(z)=R_0+h\cos K_0 z$ 으로 변화한다.

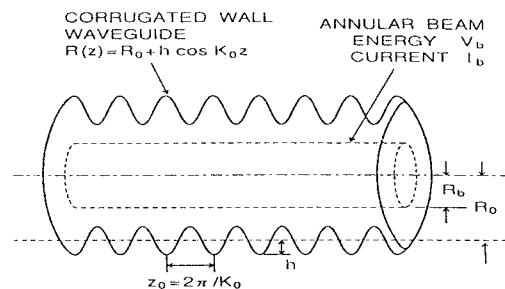


그림 1. 지파 도파관의 기본 모델 및 빔 에너지, 빔의 형태, 도파관 과형의 주기와 진폭

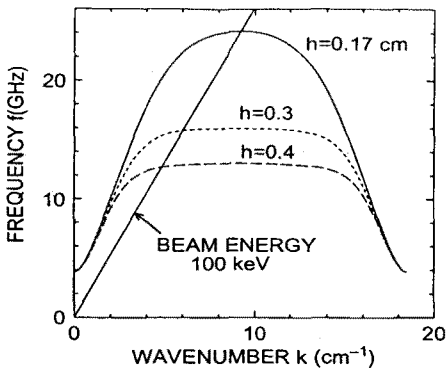


그림 2. $R_0=3.0\text{cm}$ 및 $z_0=0.34\text{cm}$ 일 때 $h=0.17, 0.3, 0.4\text{cm}$ 에 대한 TM_{01} 모드의 분산 관계

축 방향으로 동일 크기의 강한 자장이 주어질 때, 전자는 축 방향으로만 이동하며 여기된 마이크로파의 모드

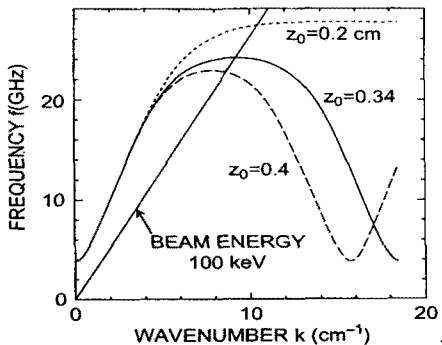


그림 3. $R_0=3.0\text{cm}$ 및 $h=0.17\text{cm}$ 일 때 $z_0=0.2, 0.3, 0.4\text{cm}$ 에 대한 TM_{01} 모드의 분산 관계
는 축 대칭인 TM_{0s} 모드만 가정한다. 또 마이크로파를 여기하는 전자 빔은 무한히 얇은 원통 곡형 빔으로 가정하여 반경 R_b 로 하고, 빔 에너지는 V_b , 전류 I_b , 밀도 n_b 로 한다. 그림 2과 같은 형태의 분산 관계는 다음과 같이 나타낸다.

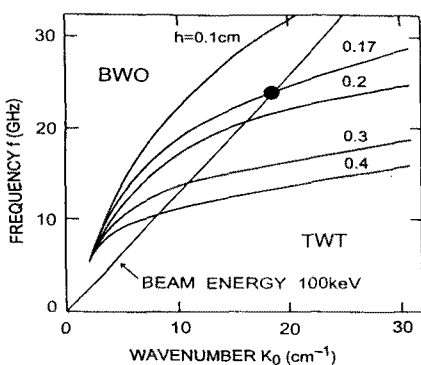


그림 4. $R_0=3.0\text{cm}$ 으로 고정한 후 진폭 h 의 변화에 따른 파수 K_0 와 발진 주파수의 변화

먼저, Floquet의 정리에 의하여 RF 전계는 다음식과 같이 나타낸다.

$$E_z = \sum_{n=-\infty}^{\infty} E_{zn} \exp[i(k_n z - \omega t)]$$

$$E_r = \sum_{n=-\infty}^{\infty} E_{rn} \exp[i(k_n z - \omega t)]$$

$r=R_b$ 의 경우, RF 전계 성분 E_{zn}, E_{rn} 을 Maxwell 방정식을 이용하여 해를 구하면 다음과 같다.

$$\begin{aligned} E_{zn} &= A_n J_0\left(\frac{y_n r}{R_0}\right) \\ &= B_n J_0\left(\frac{y_n r}{R_0}\right) + C_n N_0\left(\frac{y_n r}{R_0}\right) \end{aligned}$$

$$E_{rn} = \frac{i k_n}{\frac{\omega^2}{c^2} - k_n^2} \frac{\partial E_{zn}}{\partial r}$$

$$y_n^2 = R_0^2 \left(\frac{\omega^2}{c^2} - k_n^2 \right)$$

또한, $r=R_b$ 에서 전자 빔의 축방향 운동을 연속 방정식과 운동 방정식을 이용하여 해를 구하면 계수 B_n, C_n 은 다음과 같이 A_n 으로 표시된다.

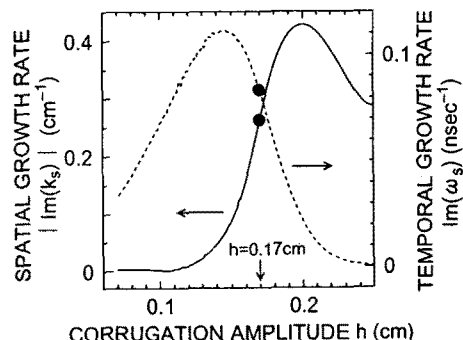


그림 5(a). $R_0=3.0\text{cm}$, $I=0.5\text{kA}$, $v/c=0.548$, $R_b=2.63\text{cm}$, $z_0=0.34\text{cm}$ 일 때 파형의 진폭 h 의 변화

$r=R(z)$ 에 대하여 금속 표면의 경계 조건에서 A_n 은 다음과 같이 표시된다.

$$\sum_{m,n=-\infty}^{\infty} [1 + (n-m) Q_n] (B_n C_{mn}^J + C_n C_{mn}^N)$$

$$Q_n = \frac{K_0 k_n}{\frac{\omega^2}{c^2} - k_n^2}$$

$$C_{mn}^J = \int_{-\pi/K_0}^{\pi/K_0} \exp[i(n-m)K_0 z] J_0$$

$$= \sum_{q=0}^{\infty} \frac{(y_n a)^{2q+|n-m|}}{2^{2q+|n-m|} q! (q+|n-m|)!}$$

한편, $A_n=0$ 이 필수 조건이므로 (6)식의 분산 관계는 다음과 같이 표시된다.

$$D(k, \omega) = \det[D_{mn}] = 0$$

여기서 대구경 SWS의 특이한 성질에 대하여 고찰한다. 빔이 없을 때, 즉 (3)-(5)식에서 $I_b=0$, $A_n=0$, $C_n=0$ 에 대하여 생각하면 SWS에서 빔 에너지가 0이므로 발진은 일어나지 않고 (9)식에서 ω 와 k 는 실수가 된다. R_0 을 작게 하지 않으면 높은 주파수 $f=\omega/2\pi$ 를 얻기 위하여는

그럼 1에서 z_0 을 작게하지 않으면 않는다. 이때 K_0 은 크게 되어 (2)식에서 y_n^2 이 되어 $E_{2n}=A_n I_n(y_n r/R_0)$ 및 $y_n^2=-y_n'^2$ 된다. 또한 (7)식의 괴 적분 함수는 $\exp[i(n-m)K_0 z] I_0[y_n'(1+\alpha \cos K_0 z)]$ 가 되어, y_n' 가 크게 되면 수정 Vessel의 함수 I_0 은 갑자기 커져서 (9)식에서 Over-flow가 일어난다. 이와 같은 문제를 해결하기 위하여 $I(z)$ 를 다음과 같이 점근 전개한다.

$$I_v(z) = \frac{e^z}{(2\pi z)^{1/2}} [1 - \frac{\mu-1}{8z} + \frac{(\mu-1)(\mu-9)}{2!(8z)^2} - \dots],$$

$$|\arg(z)| < \frac{\pi}{2}, \quad \mu = 4 v^2$$

$$\sum_{m,n=-\infty}^{\infty} [1 - (n-m) Q_n] \frac{C_{mn}^J}{\exp(y_n')} G_n = D_{mn}, \quad G_n = 0$$

$$G_n = A_n \exp(y_n'), \quad D'(\omega, k) = \det[D'_{mn}] = 0$$

위와 같이 점근 전개를 이용하여 (9)식 대신 (10)식을 이용하면 Over-flow도 일어나지 않는다.

3. 결 론

종래의 X-band BWO와 비교하여 높은 주파수인 24GHz 부근에서 발진하는 BWO를 설계할 경우, 먼저 지파 구조의 평균 반경 R_0 을 작게하는 경우가 생기는데, 이 경우 단면적이 작아진다. 단면적이 작아지면 마이크로파의 전력 밀도가 커지는데 이 때는 지파 구조 내에서 RF 절연 파괴가 일어난다. 여기서 과대한 전력 밀도를 갖지 않으면서 출력력을 크게 하기 위해서는 평균 반경을 작게 하지 않고 발진 주파수를 높일 필요가 있다. 따라서 도파관의 큰 직경을 유지하면서 파형의 주기와 진폭을 선택하여, 대 구경 BWO를 설계·제작하여 실험함으로서 보다 높은 주파수에서의 발진 및 대 출력 발생되었다.

[참 고 문 헌]

- [1] W.S.Kim, J.S.Hwang, J.N.Kim, Y.M.Kim, 'A Study on the Formation of Reserved Field configuration stability with Radio Rotating Field, Proceeding of the 36th KIEE Conference 2005
- [2] V.L.Granatstein and P.L.Colestock, 'Wave Heating and Current Drive in Plasmas,' Gordon and Breach, New York, 2002.
- [3] V.L.Granatstein and I.Alexeff, 'High Power Microwave sources,' Boston : Artech, 2001.
- [4] J.N.Benford and J.A.Swagle, 'High Power Microwaves,' Boston : Artech, 2002.
- [5] S.P.Bugaev, V.A.Cherepein, V.I.Kanavets, V.I.Koshelev, V.A.Popov and A.N.Vlasov, 'Investigation of a millimeter wavelength range relativistic defraction generator,' IEEE Trans. Plasma Sci. PS-18.